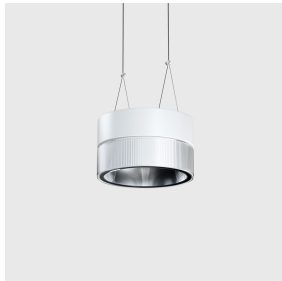


Dernière mise à jour des informations: Mars 2025

Configuration du produit: RP01.R7

RP01.R7: Appareil à suspendre - Ø234 - Éclairage général - Blanc/Transparent/Noir Transparent

**Référence produit**

RP01.R7: Appareil à suspendre - Ø234 - Éclairage général - Blanc/Transparent/Noir Transparent

Description technique

Appareil d'éclairage direct - installation en suspension Source LED à haut indice de rendu de couleur - émission à haut rendement avec d'excellents niveaux d'efficacité pour des applications d'éclairage général. Groupe émetteur en PMMA composé d'un réflecteur prismatisé transparent combiné à un récupérateur de flux et à un écran diffuseur - un revêtement intérieur en polycarbonate définit visuellement le groupe optique. Structure extérieure du corps lumineux à double élément en aluminium tourné - finition peinture uniforme ou combinée. Le pratique système de fixation à baïonnette permet de séparer les deux parties pour effectuer toutes les opérations préalables à la suspension. La partie supérieure du corps lumineux est prévue pour le réglage en longueur, le câblage et le blocage des câbles de suspension / alimentation fournis avec la patère, accessoire indispensable pour obtenir un produit complet. Unité d'alimentation gradable DALI intégrée. Le corps éclairant en version PURE se distingue par un anneau inférieur extérieur translucide et texturé.

Installation

Installation en suspension avec patère, accessoire à commander séparément.

Coloris

Blanc/Transparent/Noir Transparent (R7)

Poids (Kg)

1.84

Montage

suspendu

Câblage

Driver gradable DALI intégré - bornier de câblage positionné en partie supérieure de la structure.

Conforme à la norme EN60598-1 et à la réglementation en vigueur (o 'à la réglementation relative')

**Données techniques**

| | | | |
|--|------|--------------------------------------|--------|
| Im du système: | 3329 | IRC (minimum): | 90 |
| W du système: | 32 | Température de couleur [K]: | 3000 |
| Im source: | 4380 | MacAdam Step: | 2 |
| W source: | 32 | Code Lampe: | LED |
| Efficacité lumineuse (Im/W, 104 valeurs du système): | | Nombre de lampes par groupe optique: | 1 |
| Im en mode secours: | - | Code ZVEI: | LED |
| Flux total émis à un angle de 90° ou plus [Lm]: | 27 | Nombre de groupes optiques: | 1 |
| Light Output Ratio (L.O.R.) [%]: | 76 | Control: | DALI-2 |

Polaire

| Imax=2107 cd 90° 180° 90° 2000 0° α = 78° | CIE nL 0.76 79-99-100-99-76 UGR 13.3-13.3 DIN A.62 UTE 0.75B+0.01T F*1=789 F*1+F*2=987 F*1+F*2+F*3=997 CIBSE LG3 L<1500 cd/m² at 65° UGR<16 L<1500 cd/m² @ 65° | Lux | | | |
|---|---|-----|------|-----|------|
| | | h | d | Em | Emax |
| | | 2 | 3.2 | 382 | 504 |
| | | 4 | 6.4 | 95 | 126 |
| | | 6 | 9.7 | 42 | 56 |
| | | 8 | 12.9 | 24 | 31 |

Coefficients d'utilisation

| R | 77 | 75 | 73 | 71 | 55 | 53 | 33 | 00 | DRR |
|------|----|----|----|----|----|----|----|----|-----|
| K0.8 | 61 | 55 | 52 | 49 | 55 | 51 | 51 | 47 | 63 |
| 1.0 | 65 | 60 | 57 | 54 | 59 | 56 | 56 | 52 | 69 |
| 1.5 | 71 | 67 | 65 | 62 | 66 | 64 | 63 | 60 | 79 |
| 2.0 | 74 | 71 | 69 | 67 | 70 | 68 | 67 | 64 | 85 |
| 2.5 | 76 | 74 | 72 | 71 | 73 | 71 | 70 | 67 | 89 |
| 3.0 | 77 | 76 | 74 | 73 | 74 | 73 | 72 | 69 | 92 |
| 4.0 | 78 | 77 | 76 | 75 | 76 | 75 | 73 | 71 | 94 |
| 5.0 | 79 | 78 | 77 | 76 | 76 | 76 | 74 | 72 | 95 |

Courbe limite de luminance

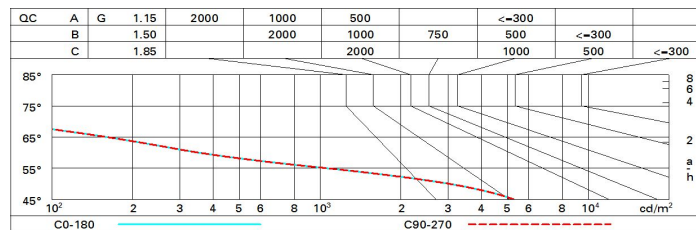


Diagramme UGR

| Corrected UGR values (at 4380 lm bare lamp luminous flux) | | | | | | | | | | | |
|--|------|---------------------|------|------|------|------|-------------------|------|------|------|------|
| Reflect.: ceiling/cav walls work pl. Room dim x y | | viewed crosswise | | | | | viewed endwise | | | | |
| 2H | 2H | 13.8 | 14.6 | 14.1 | 14.9 | 15.2 | 13.8 | 14.6 | 14.1 | 14.9 | 15.2 |
| | 3H | 13.7 | 14.4 | 14.0 | 14.7 | 15.0 | 13.7 | 14.4 | 14.1 | 14.7 | 15.0 |
| | 4H | 13.6 | 14.3 | 14.0 | 14.6 | 14.9 | 13.6 | 14.3 | 14.0 | 14.6 | 14.9 |
| | 6H | 13.5 | 14.1 | 13.9 | 14.5 | 14.8 | 13.6 | 14.2 | 13.9 | 14.5 | 14.8 |
| | 8H | 13.5 | 14.1 | 13.9 | 14.4 | 14.8 | 13.5 | 14.1 | 13.9 | 14.5 | 14.8 |
| | 12H | 13.5 | 14.0 | 13.9 | 14.4 | 14.8 | 13.5 | 14.0 | 13.9 | 14.4 | 14.8 |
| 4H | 2H | 13.6 | 14.3 | 14.0 | 14.6 | 14.9 | 13.6 | 14.3 | 14.0 | 14.6 | 14.9 |
| | 3H | 13.5 | 14.0 | 13.9 | 14.4 | 14.8 | 13.5 | 14.0 | 13.9 | 14.4 | 14.8 |
| | 4H | 13.4 | 13.9 | 13.8 | 14.3 | 14.7 | 13.4 | 13.9 | 13.8 | 14.3 | 14.7 |
| | 6H | 13.3 | 13.7 | 13.8 | 14.2 | 14.6 | 13.3 | 13.7 | 13.8 | 14.2 | 14.6 |
| | 8H | 13.3 | 13.7 | 13.7 | 14.1 | 14.6 | 13.3 | 13.7 | 13.7 | 14.1 | 14.6 |
| | 12H | 13.2 | 13.6 | 13.7 | 14.0 | 14.5 | 13.2 | 13.6 | 13.7 | 14.0 | 14.5 |
| 8H | 4H | 13.3 | 13.7 | 13.7 | 14.1 | 14.6 | 13.3 | 13.7 | 13.7 | 14.1 | 14.6 |
| | 6H | 13.2 | 13.5 | 13.7 | 14.0 | 14.5 | 13.2 | 13.5 | 13.7 | 14.0 | 14.5 |
| | 8H | 13.1 | 13.4 | 13.6 | 13.9 | 14.4 | 13.1 | 13.4 | 13.6 | 13.9 | 14.4 |
| | 12H | 13.1 | 13.3 | 13.6 | 13.8 | 14.4 | 13.1 | 13.3 | 13.6 | 13.8 | 14.4 |
| 12H | 4H | 13.2 | 13.6 | 13.7 | 14.0 | 14.5 | 13.2 | 13.6 | 13.7 | 14.0 | 14.5 |
| | 6H | 13.1 | 13.4 | 13.6 | 13.9 | 14.4 | 13.1 | 13.4 | 13.6 | 13.9 | 14.4 |
| | 8H | 13.1 | 13.3 | 13.6 | 13.8 | 14.4 | 13.1 | 13.3 | 13.6 | 13.8 | 14.4 |
| Variations with the observer position at spacing: | | | | | | | | | | | |
| S = | 1.0H | 2.0 / -0.9 | | | | | 2.0 / -0.9 | | | | |
| | 1.5H | 4.3 / -13.4 | | | | | 4.3 / -13.4 | | | | |
| | 2.0H | 6.3 / -16.6 | | | | | 6.3 / -16.6 | | | | |